

(19) 日本国特許庁(JP)

(12) 公開特許公報(A)

(11) 特許出願公開番号

特開2016-142636  
(P2016-142636A)

(43) 公開日 平成28年8月8日(2016.8.8)

(51) Int.Cl. F I テーマコード (参考)  
**GO 1 M 1/10 (2006.01)** GO 1 M 1/10  
 GO 1 N 33/46 (2006.01) GO 1 N 33/46

審査請求 未請求 請求項の数 4 O L (全 21 頁)

(21) 出願番号	特願2015-18808 (P2015-18808)	(71) 出願人 504182255
(22) 出願日	平成27年2月2日 (2015.2.2)	国立大学法人横浜国立大学 神奈川県横浜市保土ヶ谷区常盤台79番1号
		(71) 出願人 509086486
		株式会社エンヴィジョン 広島県広島市安佐北区あさひが丘7-23-29
		(74) 代理人 100064908
		弁理士 志賀 正武
		(74) 代理人 100149548
		弁理士 松沼 泰史
		(74) 代理人 100188558
		弁理士 飯田 雅人

最終頁に続く

(54) 【発明の名称】 重量分布取得装置、重量分布取得方法およびプログラム

(57) 【要約】

【課題】 慣性モーメントを測定可能な任意の対象物を任意の部分に分割した場合に、質量分布を求めるようにする。

【解決手段】 質量分布取得装置が、対象物の慣性モーメントの測定値を複数の回転軸の各々について取得する慣性モーメント取得部と、前記慣性モーメント取得部が取得した慣性モーメントに基づいて、前記対象物の質量分布を求める質量分布取得部と、を備える。

【選択図】 図 1

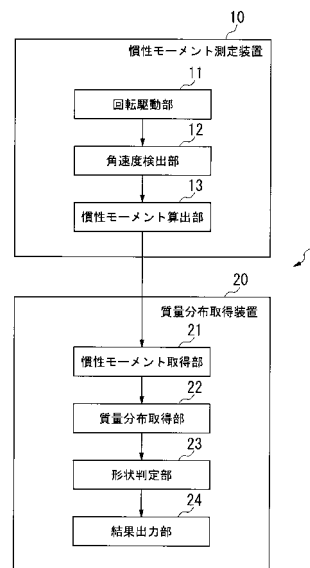


図 1

## 【特許請求の範囲】

## 【請求項 1】

対象物の慣性モーメントの測定値を複数の回転軸の各々について取得する慣性モーメント取得部と、

前記慣性モーメント取得部が取得した慣性モーメントに基づいて、前記対象物の質量分布を求める質量分布取得部と、

を備える質量分布取得装置。

## 【請求項 2】

前記質量分布取得部が取得した質量分布に基づいて、前記対象物の形状を判定する形状判定部を備える、

請求項 1 に記載の質量分布取得装置。

## 【請求項 3】

対象物の慣性モーメントの測定値を複数の回転軸の各々について取得する慣性モーメント取得ステップと、

前記慣性モーメント取得ステップにて得られた慣性モーメントに基づいて、前記対象物の質量分布を求める質量分布取得ステップと、

を備える質量分布取得方法。

## 【請求項 4】

コンピュータに、

対象物の慣性モーメントの測定値を複数の回転軸の各々について取得する慣性モーメント取得ステップと、

前記慣性モーメント取得ステップにて得られた慣性モーメントに基づいて、前記対象物の質量分布を求める質量分布取得ステップと、

を実行させるためのプログラム。

## 【発明の詳細な説明】

## 【技術分野】

## 【0001】

本発明は、重量分布取得装置、重量分布取得方法およびプログラムに関する。

## 【背景技術】

## 【0002】

特許文献 1 には、材木に瞬間的な回転力を与え、そのときの加速度または角加速度を測定し、材ごとの測定値の相対的な差により材内水分分布を判定する、木材の材内水分測定方法が記載されている。

特許文献 1 では、これにより、非破壊的でしかも簡単、確実に、住宅用の梁や桁、柱材のような比較的断面の大きい木材の水分状態を内部水分と外部水分の傾斜まで感知し、密度を把握することが可能とされている。

## 【先行技術文献】

## 【特許文献】

## 【0003】

【特許文献 1】特開 2009 - 270874 号公報

## 【発明の概要】

## 【発明が解決しようとする課題】

## 【0004】

上記のように、特許文献 1 には、木材の内側と外側との水分を把握することが記載されている。これに対し、木材に限らず、また、内側と外側との区分に限らずより詳細に対象物の質量分布を求められることが望まれる。

## 【0005】

本発明は、慣性モーメントを測定可能な任意の対象物を任意の部分に分割した場合に、質量分布を求めることができる装置、方法およびプログラムを提供する。

## 【課題を解決するための手段】

## 【0006】

本発明は、対象物の慣性モーメントを複数の回転軸の各々について取得する慣性モーメント取得部と、前記慣性モーメント取得部が取得した慣性モーメントに基づいて、前記対象物の質量分布を求める質量分布取得部と、を備える質量分布取得装置を提供する。

## 【0007】

本発明は、前記質量分布取得部が取得した質量分布に基づいて、前記対象物の形状を判定する形状判定部を備える質量分布取得装置を提供する。

本発明は、対象物の慣性モーメントの測定値を複数の回転軸の各々について取得する慣性モーメント取得ステップと、前記慣性モーメント取得ステップにて得られた慣性モーメントに基づいて、前記対象物の質量分布を求める質量分布取得ステップと、を備える質量分布取得方法を提供する。

本発明は、コンピュータに、対象物の慣性モーメントの測定値を複数の回転軸の各々について取得する慣性モーメント取得ステップと、前記慣性モーメント取得ステップにて得られた慣性モーメントに基づいて、前記対象物の質量分布を求める質量分布取得ステップと、を実行させるためのプログラムを提供する。

10

20

30

40

50

## 【0006】

本発明の第1の態様によれば、質量分布取得装置は、対象物の慣性モーメントの測定値を複数の回転軸の各々について取得する慣性モーメント取得部と、前記慣性モーメント取得部が取得した慣性モーメントに基づいて、前記対象物の質量分布を求める質量分布取得部と、を備える。

## 【0007】

前記質量分布取得部が取得した質量分布に基づいて、前記対象物の形状を判定する形状判定部を備えるようにしてもよい。

## 【0008】

本発明の第2の態様によれば、質量分布取得方法は、対象物の慣性モーメントの測定値を複数の回転軸の各々について取得する慣性モーメント取得ステップと、前記慣性モーメント取得ステップにて得られた慣性モーメントに基づいて、前記対象物の質量分布を求める質量分布取得ステップと、を備える。

10

## 【0009】

本発明の第3の態様によれば、プログラムは、コンピュータに、対象物の慣性モーメントの測定値を複数の回転軸の各々について取得する慣性モーメント取得ステップと、前記慣性モーメント取得ステップにて得られた慣性モーメントに基づいて、前記対象物の質量分布を求める質量分布取得ステップと、を実行させるためのプログラムである。

## 【発明の効果】

## 【0010】

本発明によれば、慣性モーメントを測定可能な任意の対象物を任意の部分に分割した場合に、質量分布を求めることができる装置、方法およびプログラムを提供することができる。

20

## 【図面の簡単な説明】

## 【0011】

【図1】本発明の一実施形態における質量分布取得システムの機能構成を示す概略ブロック図である。

【図2】同実施形態における慣性モーメント測定装置の外形の例を示す概略外形図である。

【図3】同実施形態における、密度が異なる2つの部分を有する細長い棒の例を示す図である。

30

【図4】同実施形態における、密度が異なるn個の部分を有する細長い棒の例を示す図である。

【図5】同実施形態における、密度が異なる2つの円柱の部分を有する対象物の例を示す図である。

【図6】同実施形態における、密度が異なるn個の円柱の部分を有する対象物の例を示す図である。

【図7】同実施形態における、質量分布の推定結果の例を示す図である。

【図8】図7の質量分布の推定結果のうち、正解値および推定値の付近を拡大した図である。

40

【図9】同実施形態における、質量分布の推定結果の例を示す図である。

【図10】図9の質量分布の推定結果のうち、正解値および推定値の付近を拡大した図である。

【図11】本実施形態において、質量分布取得装置が行う処理手順の例を示すフローチャートである。

## 【発明を実施するための形態】

## 【0012】

以下、本発明の実施形態を説明するが、以下の実施形態は特許請求の範囲にかかる発明を限定するものではない。また、実施形態の中で説明されている特徴の組み合わせの全てが発明の解決手段に必須であるとは限らない。

50

なお、明細書の記載において、ベクトルないし行列を示す太字表記を省略する。

【0013】

<第1の実施形態>

図1は、本発明の一実施形態における質量分布取得システムの機能構成を示す概略ブロック図である。同図において、質量分布取得システム1は、慣性モーメント測定装置10と、質量分布取得装置20と、を備える。慣性モーメント測定装置10は、回転駆動部11と、角速度検出部12と、慣性モーメント算出部13とを備える。質量分布取得装置20は、慣性モーメント取得部21と、質量分布取得部22と、形状判定部23と、結果出力部24とを備える。

【0014】

慣性モーメント測定装置10は、質量分布を求める対象である対象物の慣性モーメントを測定する。

回転駆動部11は、例えばモータなどの動力を備え、慣性モーメント測定装置10に載せられた対象物を回転させる。

角速度検出部12は、回転駆動部11が対象物を回転させるときの角速度を検出する。

慣性モーメント算出部13は、角速度検出部12が検出する角速度に基づいて、対象物の慣性モーメントを算出する。具体的には、回転駆動部11が、回転エネルギー $K$ を出力し、角速度検出部12が角速度 $\omega$ を検出した場合、慣性モーメント $I = 2K / \omega^2$ を算出する。

【0015】

図2は、慣性モーメント測定装置10の外形の例を示す概略外形図である。同図において、慣性モーメント測定装置10は、本体101と、回転軸102と、回転台103とを備える。

本体101は、回転駆動部11を収納しており、回転駆動部11が、回転軸102に回転力を加えることで、回転軸102、回転台103、および、回転台103に載せられている対象物 $b$ 100を回転させる。また、本体101は、角速度検出部12を収納しており、回転軸102が回転する角速度(=対象物 $b$ 100が回転する角速度)を検出する。なお、慣性モーメント算出部13も本体101に収納されていてもよいし、慣性モーメント測定装置10と別個の装置として設けられていてもよい。例えば、慣性モーメント算出部13が、慣性モーメント測定装置10と別個に設けられた汎用のコンピュータを用いて実現されていてもよい。

【0016】

回転軸102は、回転駆動部11からの回転力を回転台103に伝達する。

回転台103は、対象物の積載を受ける。そして、回転台103は、対象物が載せられた状態で回転軸102から伝達される回転力にて回転することで、対象物 $b$ 100を回転させる。

なお、回転台103の慣性モーメント、対象物 $b$ 100を固定する固定治具の慣性モーメントなど、慣性モーメント測定装置10の慣性モーメントを予め求めておくようにしてもよい。そして、慣性モーメント算出部13が、これらの慣性モーメントを予め記憶しておき、対象物 $b$ 100の慣性モーメントを算出する際に、慣性モーメント測定装置10の慣性モーメントの影響を低減させる補正を行うようにしてもよい。これにより、対象物 $b$ 100の慣性モーメントを、より高精度に求めることができる。

また、回転台103に、慣性モーメントが既知の対象物を搭載して角速度を測定することで、摩擦等によるエネルギー損失分を予め推定するようにしてもよい。そして、慣性モーメント算出部13が、対象物 $b$ の慣性モーメントを算出する際に、エネルギー損失分の影響を低減させる補正を行うようにしてもよい。これにより、対象物 $b$ 100の慣性モーメントを、より高精度に求めることができる。

【0017】

質量分布取得装置20は、慣性モーメント測定装置10が測定した慣性モーメントに基づいて、対象物における質量分布を求める。特に、慣性モーメント測定装置10は、対象

10

20

30

40

50

物の慣性モーメントを複数の回転中心の各々について測定し、質量分布取得装置 20 は、これら複数の慣性モーメントに基づいて、対象物の質量分布を求める。質量分布取得装置 20 は、例えばコンピュータを用いて実現される。

慣性モーメント取得部 21 は、慣性モーメント測定装置が測定した、対象物の慣性モーメントの測定値を取得する。

【0018】

質量分布取得部 22 は、慣性モーメント取得部が取得した慣性モーメントに基づいて、対象物の質量分布を取得（算出）する。

形状判定部 23 は、質量分布取得部 22 が取得した質量分布に基づいて、対象物の形状を判定する。具体的には、形状判定部 23 は、対象領域（質量分布取得装置 20 が処理対象とする、対象物を含む空間）が分割された各部分について、質量が所定の閾値以下となっている部分には、対象物が存在していないと判定する。

10

【0019】

結果出力部 24 は、質量分布取得部 22 が取得した質量分布を示す情報を入力する。また、結果出力部 24 は、形状判定部 23 が取得した対象物の形状を示す情報を入力する。結果出力部が、質量分布を示す情報を入力する方法や、形状を示す情報を入力する方法としていろいろな方法を用いることができる。例えば、結果出力部 24 が、液晶パネル等の表示画面を有し、これらの情報を表示するようにしてもよい。あるいは、結果出力部 24 が通信回路を有し、これらの情報を他の装置へ送信するようにしてもよい。

なお、質量分布取得装置 20 において、形状判定部 23 は必須ではない。質量分布取得装置 20 が形状判定部 23 を備えていなくてもよい。

20

【0020】

次に、質量分布取得部 22 が慣性モーメントから対象物の質量分布を求める処理について説明する。

まず、対象物の寸法が決定すれば、対象物の質量分布と任意の回転中心における慣性モーメントとの関係を求めることができることについて説明する。

ある直線を回転中心（回転軸）として角速度  $\omega$  で回転する剛体を  $n$  個の小部分に分割して考える。このとき、回転半径  $r_i$ 、質量  $m_i$  の小部分が持つ運動エネルギー  $K_i$  は、式（1）のように表される。

【0021】

30

【数 1】

$$\begin{aligned} K_i &= \frac{1}{2} m_i v_i^2 \\ &= \frac{1}{2} m_i (r_i \omega)^2 \\ &= \frac{1}{2} (m_i r_i^2) \omega^2 \quad \dots (1) \end{aligned}$$

40

【0022】

従って、対象物全体の運動エネルギーは、式（2）のように表される。

【0023】

【数 2】

$$\begin{aligned}
 K &= \sum_{i=1}^n K_i \\
 &= \sum_{i=1}^n \frac{1}{2} (m_i r_i^2) \omega^2 \\
 &= \frac{1}{2} \left( \sum_{i=1}^n m_i r_i^2 \right) \omega^2 \\
 &= \frac{1}{2} I \omega^2 \quad \dots (2)
 \end{aligned}$$

10

【0024】

20

但し、 $I$  は慣性モーメントを示し、式(3)のように表される。

【0025】

【数 3】

$$\begin{aligned}
 I &= \sum_{i=1}^n m_i r_i^2 \\
 &= \frac{2K}{\omega^2} \quad \dots (3)
 \end{aligned}$$

30

【0026】

従って、対象物に運動エネルギー（回転エネルギー）を加え、その時の角速度を測定すれば、慣性モーメント  $I$  を求めることができる。

なお、微小体積  $V$  の質量を  $m$  とすると、密度は式(4)のように表される。

【0027】

【数 4】

$$\begin{aligned}
 \rho &= \lim_{\Delta V \rightarrow 0} \frac{\Delta m}{\Delta V} \\
 &= \frac{dm}{dV} \quad \dots (4)
 \end{aligned}$$

40

【0028】

微小部分の体積を 0 に近付けることにより、慣性モーメント  $I$  は、式(5)のような積分の式で表される。

50

【 0 0 2 9 】

【 数 5 】

$$\begin{aligned}
 I &= \lim_{\Delta m_i \rightarrow 0} \sum_{i=1}^n \Delta m_i r_i^2 \\
 &= \int r^2 dm \\
 &= \int \rho r^2 dV \quad \dots (5)
 \end{aligned}$$

10

【 0 0 3 0 】

次に、密度が異なる2つの部分を有する細長い棒を例に、質量分布の推定について説明する。

20

図3は、密度が異なる2つの部分を有する細長い棒の例を示す図である。同図に示す棒 b 1 1 1 (対象物) は、部分 b 1 2 1 と、部分 b 1 2 2 とが、同図に向かって左から b 1 2 1、b 1 2 2 の順で結合して構成されている。部分 b 1 2 1 の長さは  $l_1$ 、断面積は  $S_1$ 、質量は  $w_1$  である。また、部分 b 1 2 2 の長さは  $l_2$ 、断面積は  $S_2$ 、質量は  $w_2$  である。

部分 b 1 2 1 の密度、部分 b 1 2 2 の密度をそれぞれ  $\rho_1$ 、 $\rho_2$  とし、回転軸の、部分 b 1 2 1 の左端からの距離を  $t$  ( $0 \leq t \leq l_1$ ) とする。回転軸からの距離  $z$  について、慣性モーメント  $I(t)$  は、式(6)のように表される。

【 0 0 3 1 】

【 数 6 】

$$\begin{aligned}
 I(t) &= \int \rho_1 z^2 dV + \int \rho_2 z^2 dV \\
 &= \int_0^t \rho_1 z^2 S_1 dz + \int_0^{(l_1-t)} \rho_1 z^2 S_1 dz + \int_{(l_1-t)}^{(l_1-t+l_2)} \rho_2 z^2 S_2 dz \\
 &= \int_0^t \frac{w_1}{S_1 l_1} z^2 S_1 dz + \int_0^{(l_1-t)} \frac{w_1}{S_1 l_1} z^2 S_1 dz + \int_{(l_1-t)}^{(l_1-t+l_2)} \frac{w_2}{S_2 l_2} z^2 S_2 dz \\
 &= \frac{w_1}{l_1} \left[ \frac{1}{3} z^3 \right]_0^t + \frac{w_1}{l_1} \left[ \frac{1}{3} z^3 \right]_0^{(l_1-t)} + \frac{w_2}{l_2} \left[ \frac{1}{3} z^3 \right]_{(l_1-t)}^{(l_1-t+l_2)} \\
 &= \frac{1}{3} (l_1^2 - 3l_1 t + 3t^2) w_1 + \frac{1}{3} \left\{ l_2^2 + 3(l_1 - t)l_2 + 3(l_1 - t)^2 \right\} w_2 \\
 &\quad \dots (6)
 \end{aligned}$$

40

【 0 0 3 2 】

ここで、異なる2つの回転軸の、部分 b 1 2 1 の左端からの距離を、それぞれ  $t_1$ 、 $t$

50

$t_2$  とし、これら 2 つの回転軸それぞれで棒 b 1 1 1 を回転させた場合の慣性モーメントを  $I(t_1)$ 、 $I(t_2)$  とする。これらの慣性モーメント  $I(t_1)$ 、 $I(t_2)$  を精度よく測定できれば、式 (7) に示される 2 次の連立方程式により、各部分の質量を求めることができる。

【0033】

【数7】

$$\left. \begin{aligned} I(t_1) &= \frac{1}{3}(l_1^2 - 3l_1t_1 + 3t_1^2)w_1 + \frac{1}{3}\left\{l_2^2 + 3(l_1 - t_1)l_2 + 3(l_1 - t_1)^2\right\}w_2 \\ I(t_2) &= \frac{1}{3}(l_1^2 - 3l_1t_2 + 3t_2^2)w_1 + \frac{1}{3}\left\{l_2^2 + 3(l_1 - t_2)l_2 + 3(l_1 - t_2)^2\right\}w_2 \end{aligned} \right\} \quad \dots (7) \quad 10$$

【0034】

式 (7) を行列式で表すと、式 (8) のようになる。

【0035】

【数8】

$$\left\{ \begin{array}{l} I(t_1) \\ I(t_2) \end{array} \right\} = \frac{1}{3} \begin{bmatrix} l_1^2 - 3l_1t_1 + 3t_1^2 & l_2^2 + 3(l_1 - t_1)l_2 + 3(l_1 - t_1)^2 \\ l_1^2 - 3l_1t_2 + 3t_2^2 & l_2^2 + 3(l_1 - t_2)l_2 + 3(l_1 - t_2)^2 \end{bmatrix} \left\{ \begin{array}{l} w_1 \\ w_2 \end{array} \right\} \quad \dots (8) \quad 20$$

【0036】

ここで、 $I_2$ 、 $R_{22}$ 、 $W_2$  を式 (9) のように定める。

【0037】

【数9】

$$\left. \begin{aligned} I_2 &= \left\{ \begin{array}{l} I(t_1) \\ I(t_2) \end{array} \right\} \\ R_{22} &= \frac{1}{3} \begin{bmatrix} l_1^2 - 3l_1t_1 + 3t_1^2 & l_2^2 + 3(l_1 - t_1)l_2 + 3(l_1 - t_1)^2 \\ l_1^2 - 3l_1t_2 + 3t_2^2 & l_2^2 + 3(l_1 - t_2)l_2 + 3(l_1 - t_2)^2 \end{bmatrix} \\ W_2 &= \left\{ \begin{array}{l} w_1 \\ w_2 \end{array} \right\} \end{aligned} \right\} \quad \dots (9) \quad 40$$

【0038】

$I_2$ 、 $R_{22}$ 、 $W_2$  は、それぞれ、慣性モーメントベクトル、応答行列、質量ベクトルである。

式(8)は、式(10)のように表される。

【0039】

【数10】

$$I_2 = R_{22}W_2 \quad \dots (10)$$

【0040】

10

応答行列  $R_{22}$  の逆行列を  $R_{22}^{-1}$  とすると、質量ベクトル  $W_2$  を求める式は、式(11)のようになる。

【0041】

【数11】

$$W_2 = R_{22}^{-1}I_2 \quad \dots (11)$$

【0042】

20

このように、慣性モーメントベクトル  $I_2$  と、質量ベクトル  $W_2$  との関係を示す応答行列  $R_{22}$  を予め得ることができる。測定により慣性モーメントベクトル  $I_2$  を得ることで、質量ベクトル  $W_2$  を推定することができる。

さらに、回転軸の位置(部分b121の左端からの距離)を  $t_1$  から  $t_m$  までの  $m$  通りに変えて慣性モーメントの測定数を増やし、 $I(t_1)$  から  $I(t_m)$  までの測定データを用いて質量を推定する場合、式(8)は式(12)のようになる。

【0043】

【数12】

$$\begin{Bmatrix} I(t_1) \\ I(t_2) \\ \vdots \\ I(t_m) \end{Bmatrix} = \frac{1}{3} \begin{bmatrix} l_1^2 - 3l_1t_1 + 3t_1^2 & l_2^2 + 3(l_1 - t_1)l_2 + 3(l_1 - t_1)^2 \\ l_1^2 - 3l_1t_2 + 3t_2^2 & l_2^2 + 3(l_1 - t_2)l_2 + 3(l_1 - t_2)^2 \\ \vdots & \vdots \\ l_1^2 - 3l_1t_m + 3t_m^2 & l_2^2 + 3(l_1 - t_m)l_2 + 3(l_1 - t_m)^2 \end{bmatrix} \begin{Bmatrix} w_1 \\ w_2 \end{Bmatrix} \quad \dots (12)$$

30

【0044】

また、式(10)は、式(13)のようになる。

【0045】

【数13】

$$I_m = R_{m2}W_2 \quad \dots (13)$$

40

【0046】

但し、 $I_m$ 、 $R_{m2}$  は、式(14)のように表される。

【0047】

【数 1 4】

$$\begin{aligned}
 I_m &= \left\{ \begin{array}{c} I(t_1) \\ I(t_2) \\ \vdots \\ I(t_m) \end{array} \right\} \\
 R_{m2} &= \frac{1}{3} \left[ \begin{array}{cc} l_1^2 - 3l_1t_1 + 3t_1^2 & l_2^2 + 3(l_1 - t_1)l_2 + 3(l_1 - t_1)^2 \\ l_1^2 - 3l_1t_2 + 3t_2^2 & l_2^2 + 3(l_1 - t_2)l_2 + 3(l_1 - t_2)^2 \\ \vdots & \vdots \\ l_1^2 - 3l_1t_m + 3t_m^2 & l_2^2 + 3(l_1 - t_m)l_2 + 3(l_1 - t_m)^2 \end{array} \right]
 \end{aligned} \quad \dots (14)$$

【0048】

一方、 $W_2$  は、式(9)に示したのと同じである。

実際には、慣性モーメントベクトル  $I_m$  に測定誤差  $E_{rr}$  が加えられるため、式(15)のようになる。

【0049】

【数 1 5】

$$I_{m-m} = R_{m2}W_2 + E_{rr} \quad \dots (15)$$

【0050】

慣性モーメントベクトル  $I_{m-m}$  は、回転軸の位置を  $m$  通りに変えて測定された、 $m$  個の慣性モーメントを示す。

未知数よりも多くの測定データを用いることで、最小二乗法などにより解の信頼性を高めることができる。

【0051】

次に、密度が異なる  $n$  個の部分を持つ細長い棒を例に、質量分布の推定について説明する。

図4は、密度が異なる  $n$  個の部分を持つ細長い棒の例を示す図である。同図に示す棒  $b_{211}$  は、部分  $b_{221}$  と、部分  $b_{222}$  と、 $\dots$ 、部分  $b_{22n}$  とが、同図に向かって左から  $b_{221}$ 、 $b_{222}$ 、 $\dots$ 、 $b_{22n}$  の順で結合して構成されている。部分  $b_{221}$  の長さは  $l_1$ 、断面積は  $S_1$ 、質量は  $w_1$  である。部分  $b_{222}$  の長さは  $l_2$ 、断面積は  $S_2$ 、質量は  $w_2$  である。 $\dots$  部分  $b_{22n}$  の長さは  $l_n$ 、断面積は  $S_n$ 、質量は  $w_n$  である。

この場合、式(15)は、式(16)のようになる。

【0052】

10

20

30

40

【数 16】

$$I_{m-m} = R_{mn}W_n + E_{rr} \quad \dots (16)$$

【0053】

但し、 $R_{mn}$  は、 $R_{m2}$  を  $n$  列に拡張した応答行列である。また、 $W_n$  は、 $W_2$  を  $n$  次元に拡張したベクトルである。 $R_{mn}$  の内容（各要素の値）は、回転軸の位置と注目領域の寸法とに基づいて決定することができる。ここでいう注目領域とは、質量を求める対象となる空間である。

10

式(16)に基づいて、質量分布の推定ベクトル  $W_n'$  を求める式(17)を得られる。

【0054】

【数 17】

$$W_n' = R_{mn}^+ I_{m-m} \quad \dots (17)$$

20

【0055】

但し、 $R_{mn}^+$  は、 $R_{mn}$  のムーア・ペンローズ一般逆行列を示す。ムーア・ペンローズ一般逆行列によれば、任意の応答行列  $R_{mn}$  に対して何らかの逆行列を得られる。

形状を考慮した  $n$  よりも多い  $m$  通りの回転軸について  $m$  個の慣性モーメントを測定する（ $m$  個の観測方程式を得る）ことで、最小二乗法等により質量分布の推定精度を高めることができる。

【0056】

式(17)は、棒形状に限らず任意の形状に一般化することができる。質量分布取得部 22 は、式(17)に基づいて対象物の質量分布を求める。

具体的には、まず、対象物を含む空間である対象領域を複数の部分に分割する。例えば、対象領域を解析単位となるメッシュに分割する。質量分布取得装置 20 のユーザが当該分割を行うようにしてもよいし、質量分布取得部 22 が自動的に当該分割を行うようにしてもよい。

30

【0057】

また、質量分布取得部 22 は、応答行列のムーア・ペンローズ一般逆行列  $R_{mn}^+$  を取得する。質量分布取得装置 20 のユーザが  $R_{mn}^+$  を入力するようにしてもよいし、質量分布取得部 22 が  $R_{mn}^+$  を算出するようにしてもよい。

そして、質量分布取得部 22 は、慣性モーメント測定装置 10 による慣性モーメントの測定値を式(17)に代入して、対象物の質量分布を算出する。

【0058】

40

なお、質量分布取得部 22 が、応答行列のムーア・ペンローズ一般逆行列に代えて、最小二乗型一般逆行列またはノルム最小型一般逆行列を取得するようにしてもよい。特に、未知数（方程式にて解くべき変数の数）に対して計測数（測定にて得られた慣性モーメントの数）が多い場合、最小二乗型一般逆行列を用いることが考えられる。一方、未知数に対して計測数が少ない場合、ノルム最小型一般逆行列を用いることができる。なお、ムーア・ペンローズ一般逆行列は、未知数に対して計測数が多い場合も少ない場合も適用可能である。

【0059】

次に、密度が異なる 2 つの円柱の部分をもつ対象物を例に、質量分布の推定について説明する。

50

図5は、密度が異なる2つの円柱の部分をもつ対象物の例を示す図である。同図に示す対象物b311は、円柱形状の2つの部分b321と、b322とが、同図に向かって左からb321、b322の順で結合して構成されている。部分b321の長さは $l_1$ 、半径は $r_1$ 、重心は $G_1$ 、質量は $w_1$ である。部分b322の長さは $l_2$ 、半径は $r_2$ 、重心は $G_2$ 、質量は $w_2$ である。

また、部分b321の左端から回転軸までの距離を $t$ とし、回転軸から重心 $G_1$ 、 $G_2$ までの距離を、それぞれ、 $e_1$ 、 $e_2$ とする。

このとき、部分b321の重心 $G_1$ まわりの慣性モーメント $I_{G1}$ は、式(18)のように表される。

【0060】

【数18】

$$I_{G1} = \left( \frac{r_1^2}{4} + \frac{l_1^2}{12} \right) w_1 \quad \dots (18)$$

10

【0061】

また、部分b322の重心 $G_2$ まわりの慣性モーメント $I_{G2}$ は、式(19)のように表される。

【0062】

【数19】

$$I_{G2} = \left( \frac{r_2^2}{4} + \frac{l_2^2}{12} \right) w_2 \quad \dots (19)$$

20

【0063】

対象物b311全体の、点Pまわり(回転軸まわり)の慣性モーメント $I_P$ は、平行軸の定理より、式(20)のようになる。

【0064】

【数20】

$$I_P = (I_{G1} + w_1 e_1^2) + (I_{G2} + w_2 e_2^2) \quad \dots (20)$$

30

【0065】

ここで、距離 $e_1$ は、式(21)のように表される。

【0066】

【数21】

$$e_1 = \left| \frac{l_1}{2} - t \right| \quad \dots (21)$$

40

【0067】

距離 $e_2$ は、式(22)のように表される。

【0068】

【数 2 2】

$$e_2 = \left| l_1 + \frac{l_1}{2} - t \right| \quad \dots (22)$$

【0069】

従って、 $I_p$  は、式(23)のようになる。

【0070】

【数 2 3】

10

$$\begin{aligned} I_P &= \left( \frac{r_1^2}{4} + \frac{l_1^2}{12} \right) w_1 + \left( \frac{l_1^2}{4} - l_1 t + t^2 \right) w_1 \\ &\quad + \left( \frac{r_2^2}{4} + \frac{l_2^2}{12} \right) w_2 + \left\{ \left( l_1 + \frac{l_2}{2} \right)^2 - 2 \left( l_1 + \frac{l_2}{2} \right) t + t^2 \right\} w_2 \\ &= \left( \frac{r_1^2}{4} + \frac{l_1^2}{3} - l_1 t + t^2 \right) w_1 + \left\{ \frac{r_2^2}{4} + \frac{l_2^2}{12} + \left( l_1 + \frac{l_2}{2} \right)^2 - 2 \left( l_1 + \frac{l_2}{2} \right) t + t^2 \right\} w_2 \\ &\quad \dots (23) \end{aligned}$$

20

【0071】

従って、質量  $w_1$ 、 $w_2$  が未知の場合でも、異なる2つの回転軸の位置(部分b321の左端からの位置)  $t_1$ 、 $t_2$  それぞれに対する慣性モーメント  $I(t_1)$ 、 $I(t_2)$  を精度よく求めることで、式(24)の連立方程式により、質量  $w_1$ 、 $w_2$  を求めることができる。

【0072】

【数 2 4】

30

$$\begin{aligned} I_P(t_1) &= \left( \frac{r_1^2}{4} + \frac{l_1^2}{3} - l_1 t_1 + t_1^2 \right) w_1 + \left\{ \frac{r_2^2}{4} + \frac{l_2^2}{12} + \left( l_1 + \frac{l_2}{2} \right)^2 - 2 \left( l_1 + \frac{l_2}{2} \right) t_1 + t_1^2 \right\} w_2 \\ I_P(t_2) &= \left( \frac{r_1^2}{4} + \frac{l_1^2}{3} - l_1 t_2 + t_2^2 \right) w_1 + \left\{ \frac{r_2^2}{4} + \frac{l_2^2}{12} + \left( l_1 + \frac{l_2}{2} \right)^2 - 2 \left( l_1 + \frac{l_2}{2} \right) t_2 + t_2^2 \right\} w_2 \\ &\quad \dots (24) \end{aligned}$$

【0073】

ここで、式(24)を行列式で表すと、式(25)のようになる。

【0074】

【数 2 5】

40

$$\begin{aligned} \begin{Bmatrix} I_P(t_1) \\ I_P(t_2) \end{Bmatrix} &= \begin{bmatrix} \frac{r_1^2}{4} + \frac{l_1^2}{3} - l_1 t_1 + t_1^2 & \frac{r_2^2}{4} + \frac{l_2^2}{12} + \left( l_1 + \frac{l_2}{2} \right)^2 - 2 \left( l_1 + \frac{l_2}{2} \right) t_1 + t_1^2 \\ \frac{r_1^2}{4} + \frac{l_1^2}{3} - l_1 t_2 + t_2^2 & \frac{r_2^2}{4} + \frac{l_2^2}{12} + \left( l_1 + \frac{l_2}{2} \right)^2 - 2 \left( l_1 + \frac{l_2}{2} \right) t_2 + t_2^2 \end{bmatrix} \begin{Bmatrix} w_1 \\ w_2 \end{Bmatrix} \\ &\quad \dots (25) \end{aligned}$$

【0075】

式(25)は、式(26)のように表される。

50

【 0 0 7 6 】

【 数 2 6 】

$$I_{c2} = R_{c22}W_2 \quad \dots (26)$$

【 0 0 7 7 】

但し、 $I_{c2}$ 、 $R_{c22}$ は、式(27)のように表される。

【 0 0 7 8 】

【 数 2 7 】

10

$$I_{c2} = \left\{ \begin{array}{l} I_P(t_1) \\ I_P(t_2) \end{array} \right\}$$

$$R_{c22} = \left[ \begin{array}{cc} \frac{r_1^2}{4} + \frac{l_1^2}{3} - l_1 t_1 + t_1^2 & \frac{r_2^2}{4} + \frac{l_2^2}{12} + (l_1 + \frac{l_2}{2})^2 - 2(l_1 + \frac{l_2}{2})t_1 + t_1^2 \\ \frac{r_1^2}{4} + \frac{l_1^2}{3} - l_1 t_2 + t_2^2 & \frac{r_2^2}{4} + \frac{l_2^2}{12} + (l_1 + \frac{l_2}{2})^2 - 2(l_1 + \frac{l_2}{2})t_2 + t_2^2 \end{array} \right]$$

$$\dots (27)$$

20

【 0 0 7 9 】

$R_{c22}$ の逆行列を $R_{c22}^{-1}$ として、式(27)は、式(28)のようになる。

【 0 0 8 0 】

【 数 2 8 】

$$W_2 = R_{c22}^{-1}I_{c2} \quad \dots (28)$$

30

【 0 0 8 1 】

式(28)に示されるように、異なる2つの回転軸(回転中心)に対する慣性モーメント $I_P(t_1)$ 、 $I_P(t_2)$ を取得できれば、2つの質量 $w_1$ 、 $w_2$ を算出することができる。

さらに、回転軸の位置 $t$ を $m$ 通りに変えて慣性モーメントの測定数を増やし、 $I_P(t_1)$ から $I_P(t_m)$ までの測定データを用いれば、式(29)のようになる。

【 0 0 8 2 】

【 数 2 9 】

40

$$\left\{ \begin{array}{l} I_P(t_1) \\ I_P(t_2) \\ \vdots \\ I_P(t_m) \end{array} \right\} = \left[ \begin{array}{cc} \frac{r_1^2}{4} + \frac{l_1^2}{3} - l_1 t_1 + t_1^2 & \frac{r_2^2}{4} + \frac{l_2^2}{12} + (l_1 + \frac{l_2}{2})^2 - 2(l_1 + \frac{l_2}{2})t_1 + t_1^2 \\ \frac{r_1^2}{4} + \frac{l_1^2}{3} - l_1 t_2 + t_2^2 & \frac{r_2^2}{4} + \frac{l_2^2}{12} + (l_1 + \frac{l_2}{2})^2 - 2(l_1 + \frac{l_2}{2})t_2 + t_2^2 \\ \vdots & \vdots \\ \frac{r_1^2}{4} + \frac{l_1^2}{3} - l_1 t_m + t_m^2 & \frac{r_2^2}{4} + \frac{l_2^2}{12} + (l_1 + \frac{l_2}{2})^2 - 2(l_1 + \frac{l_2}{2})t_m + t_m^2 \end{array} \right] \left\{ \begin{array}{l} w_1 \\ w_2 \end{array} \right\}$$

$$\dots (29)$$

【 0 0 8 3 】

50

式(29)は、式(30)のように表される。

【0084】

【数30】

$$I_{cm} = R_{cm2} W_2 \quad \dots (30)$$

【0085】

但し、 $I_{cm}$ 、 $R_{cm2}$ は、式(31)のように表される。

10

【0086】

【数31】

$$I_{cm} = \left\{ \begin{array}{c} I_P(t_1) \\ I_P(t_2) \\ \vdots \\ I_P(t_m) \end{array} \right\}$$

$$R_{cm2} = \left[ \begin{array}{ccc} \frac{r_1^2}{4} + \frac{l_1^2}{3} - l_1 t_1 + t_1^2 & \frac{r_2^2}{4} + \frac{l_2^2}{12} + (l_1 + \frac{l_2}{2})^2 - 2(l_1 + \frac{l_2}{2})t_1 + t_1^2 & \\ \frac{r_1^2}{4} + \frac{l_1^2}{3} - l_1 t_2 + t_2^2 & \frac{r_2^2}{4} + \frac{l_2^2}{12} + (l_1 + \frac{l_2}{2})^2 - 2(l_1 + \frac{l_2}{2})t_2 + t_2^2 & \\ \vdots & \vdots & \\ \frac{r_1^2}{4} + \frac{l_1^2}{3} - l_1 t_m + t_m^2 & \frac{r_2^2}{4} + \frac{l_2^2}{12} + (l_1 + \frac{l_2}{2})^2 - 2(l_1 + \frac{l_2}{2})t_m + t_m^2 & \end{array} \right]$$

\dots (31)

20

【0087】

慣性モーメントの測定誤差  $E_{rr}$  が加わっていても、最小二乗法等により解の信頼性を高めることができる。

30

次に、密度が異なる  $n$  個の円柱の部分をもつ対象物を例に、質量分布の推定について説明する。

図6は、密度が異なる  $n$  個の円柱の部分をもつ対象物の例を示す図である。同図に示す対象物 b411 は、円柱形状の  $n$  個の部分 b421 と、部分 b422 と、 $\dots$ 、部分 b42n とが、同図に向かって左から b421、b422、 $\dots$ 、b42n の順で結合して構成されている。部分 b421 の長さは  $l_1$ 、半径は  $r_1$ 、重心は  $G_1$ 、質量は  $w_1$  である。部分 b422 の長さは  $l_2$ 、半径は  $r_2$ 、重心は  $G_2$ 、質量は  $w_2$  である。 $\dots$  部分 b42n の長さは  $l_n$ 、半径は  $r_n$ 、重心は  $G_n$ 、質量は  $w_n$  である。

また、部分 b421 の左端から回転軸までの距離を  $t$  とし、回転軸から重心  $G_1$ 、 $G_2$ 、 $\dots$ 、 $G_n$  までの距離を、それぞれ、 $e_1$ 、 $e_2$ 、 $\dots$ 、 $e_n$  とする。

40

この場合、式(20)は、式(32)のように拡張される。

【0088】

【数32】

$$I_P = (I_{G1} + w_1 e_1^2) + (I_{G2} + w_2 e_2^2) + \dots + (I_{Gn} + w_n e_n^2)$$

\dots (32)

【0089】

50

これにより、 $m$ 個の慣性モーメントの測定値を含む慣性モーメントベクトル  $I_{cm-m}$  と、 $n$ 個の未知数を含む質量ベクトル  $W_n$  との関係  $R_{cm-m}$  を算出することができる。このため、 $n$ よりも多い  $m$ 個の測定データを用いることで、式(33)のように、最小二乗法などにより解の信頼性を高めることができる。

【0090】

【数33】

$$I_{cm-m} = R_{cmn} W_n + E_{rr} \quad \dots (33)$$

10

【0091】

式(33)に基づいて、質量分布の推定ベクトル  $W_n'$  を求める式(34)を得られる。

【0092】

【数34】

$$W_n' = R_{cmn}^+ I_{cm-m} \quad \dots (34)$$

20

【0093】

但し、 $R_{cm-m}^+$  は、 $R_{cm-m}$  のムーア・ペンローズ一般逆行列を示す。

次に、密度が異なる2つの部分を有する細長い棒の質量分布の推定例について説明する。

図3に示した、密度が異なる2つの部分  $b_{121}$  および  $b_{122}$  を有する細長い棒  $b_{11}$  について、質量  $w_1 = 360$  キログラム (kg)、質量  $w_2 = 240$  キログラムを求める問題を考える。部分  $b_{121}$ 、 $b_{122}$  は、それぞれ、長さが  $l_1 = 1.2$  メートル (m)、 $l_2 = 3.6$  メートルであるとする。

回転軸が部分  $b_{121}$  の左端から  $t$  ( $0 \leq t \leq l_1$ ) の距離にあるときの慣性モーメントは、上述した式(12)、(13)のように表される。

30

また、式(13)より式(35)を得られる。

【0094】

【数35】

$$W_2 = R_{m2}^+ I_m \quad \dots (35)$$

【0095】

40

但し、 $R_{m2}^+$  は、 $R_{m2}$  のムーア・ペンローズ一般逆行列を示す。

部分  $b_{121}$  および  $b_{122}$  の寸法が既知の場合には、質量分布に対する慣性モーメントを調べることができるため、応答行列  $R_{m2}$  を取得することができ、慣性モーメントの測定値を示す慣性モーメントベクトル  $I_m$  から質量分布を求める(推定する)ことができる。

【0096】

いま、回転軸の位置(部分  $b_{121}$  の左端からの距離)  $t$  を、 $t_1 = 0$  メートル、 $t_2 = 0.3$  メートル、 $t_3 = 0.6$  メートル、 $t_4 = 0.9$  メートル、 $t_5 = 1.2$  メートル、の5通りに変えて、慣性モーメントを測定し、質量分布  $w_1$  および  $w_2$  を推定する場合を模擬する。慣性モーメントの測定値を模擬するために、慣性モーメントの正解値それ

50

それに、平均 0、標準偏差 0.4 キログラム平方メートル ( $\text{kg m}^2$ ) の正規分布に従う誤差を乱数として加えた。この標準偏差の値 0.4 は、市販されているエンジン主観性モーメント測定装置の例を参考に決定した。

#### 【0097】

図 7 は、質量分布の推定結果の例を示す図である。同図では、乱数シードを 50 通りに変えて質量分布の推定を行った結果を示している。同図において、質量分布の正解値を四角 ( ) で示し、推定値を丸 ( ) で示している。正解値、推定値ともに、 $w_1 = 360$  キログラム、 $w_2 = 240$  キログラムの付近に示されている。

図 8 は、図 7 の質量分布の推定結果のうち、正解値および推定値の付近を拡大した図である。同図において、 $w_1 = 360$  キログラム、 $w_2 = 240$  キログラムの位置に正解値の点 P101 が表示されている。また、 $w_1$  が 360 キログラム前後、 $w_2 = 240$  キログラム付近の位置に、点 P102 など、推定値を示す点が複数表示されている。

図 7 および図 8 に示すように、 $w_2$  の推定精度が特に高く、 $w_1$  についても、1 キログラム程度の精度で推定できている。

#### 【0098】

次に、対象物の質量分布の推定から対象物の形状を推定する例について説明する。

図 3 に示した、密度が異なる 2 つの部分 b121 および b122 を有する細長い棒 b111 について、質量  $w_1 = 360$  キログラム、質量  $w_2 = 0$  キログラムを求める問題を考える。部分 b121、b122 は、それぞれ、長さが  $l_1 = 1.2$  メートル (m)、 $l_2 = 3.6$  メートルであるとする。これにより、対象物の長さは 1.2 メートルであるが、対象物の形状が不明であり、注目領域として長さ 4.8 メートルの領域について質量分布を求める場合を模擬する。

#### 【0099】

いま、回転軸の位置 (部分 b121 の左端からの距離)  $t$  を、 $t_1 = 0$  メートル、 $t_2 = 0.3$  メートル、 $t_3 = 0.6$  メートル、 $t_4 = 0.9$  メートル、 $t_5 = 1.2$  メートル、の 5 通りに変えて、慣性モーメントを測定し、質量分布  $w_1$  および  $w_2$  を推定する場合を模擬する。慣性モーメントの測定値を模擬するために、慣性モーメントの正解値それぞれに、平均 0、標準偏差 0.4 キログラム平方メートル ( $\text{kg m}^2$ ) の正規分布に従う誤差を乱数として加えた。

#### 【0100】

図 9 は、質量分布の推定結果の例を示す図である。同図では、乱数シードを 50 通りに変えて質量分布の推定を行った結果を示している。同図において、質量分布の正解値を四角 ( ) で示し、推定値を丸 ( ) で示している。正解値、推定値ともに、 $w_1 = 360$  キログラム、 $w_2 = 0$  キログラムの付近に示されている。

図 10 は、図 9 の質量分布の推定結果のうち、正解値および推定値の付近を拡大した図である。同図において、 $w_1 = 360$  キログラム、 $w_2 = 0$  キログラムの位置に正解値の点 P201 が表示されている。また、 $w_1$  が 360 キログラム前後、 $w_2 = 0$  キログラム付近の位置に、点 P202 など、推定値を示す点が複数表示されている。

図 9 および図 10 に示されるように、質量  $w_2$  の推定値がほぼ 0 になっている。

このように、質量がほぼ 0 になっている領域について、形状判定部 23 は、対象物が存在していない領域であると判定する。これにより、形状判定部 23 は、対象物の形状を求める。具体的には、形状判定部 23 は、対象領域が分割された各部分について、質量が所定の閾値以下か否かを判定する。そして、形状判定部 23 は、質量が閾値以下であると判定した部分には、対象物が存在していないと判定する。これにより、質量分布取得装置 20 が対象とする領域が、対象領域よりも大きく設定されていても、形状判定部 23 は、対象物の形状を検出することができる。また、形状判定部 23 は、対象物内部の空洞を検出することができる。

#### 【0101】

次に、図 11 を参照して質量分布取得装置 20 の動作について説明する。

図 11 は、質量分布取得装置 20 が行う処理手順の例を示すフローチャートである。

10

20

30

40

50

同図の処理において、慣性モーメント取得部 21 は、慣性モーメント測定装置 10 が複数の回転軸の各々について測定した慣性モーメントを取得する（ステップ S101）。

次に、質量分布取得部 22 は、ステップ S101 で得られた慣性モーメントに基づいて、対象物の質量分布を取得する（ステップ S102）。具体的には、質量分布取得部 22 は、ステップ S101 で得られた慣性モーメントを式（17）に代入して質量分布を算出する。

次に、形状判定部 23 は、ステップ S102 で得られた質量分布に基づいて、対象物の形状を判定する（ステップ S103）。具体的には、形状判定部 23 は、対象領域を分割した部分のうち、質量が所定の閾値以下となっている部分について、対象物が存在していないと判定する。

そして、結果出力部 24 は、ステップ S102 で得られた対象物の質量分布、および、ステップ S103 で得られた対象物の形状を出力する（ステップ S104）。

その後、図 11 の処理を終了する。

#### 【0102】

以上のように、慣性モーメント取得部 21 は、対象物の慣性モーメントの測定値を複数の回転軸の各々について取得する。そして、質量分布取得部は、慣性モーメント取得部が取得した慣性モーメントに基づいて、対象物の質量分布を求める。

これにより、質量分布取得装置 20 では、慣性モーメントを測定可能な任意の対象物を任意の部分に分割した場合に、質量分布を求めることができる。

#### 【0103】

また、形状判定部 23 は、質量分布取得部 22 が取得した質量分布に基づいて、対象物の形状を判定する。

これにより、質量分布取得装置 20 が対象とする領域が、対象領域よりも大きく設定されていても、形状判定部 23 は、対象物の形状を検出することができる。また、形状判定部 23 は、対象物内部の空洞を検出することができる。

#### 【0104】

なお、質量分布取得装置 20 が行う演算および制御の全部または一部の機能を実現するためのプログラムをコンピュータ読み取り可能な記録媒体に記録して、この記録媒体に記録されたプログラムをコンピュータシステムに読み込ませ、実行することで各部の処理を行ってもよい。なお、ここでいう「コンピュータシステム」とは、OS や周辺機器等のハードウェアを含むものとする。

また、「コンピュータシステム」は、WWW システムを利用している場合であれば、ホームページ提供環境（あるいは表示環境）も含むものとする。

また、「コンピュータ読み取り可能な記録媒体」とは、フレキシブルディスク、光磁気ディスク、ROM、CD-ROM 等の可搬媒体、コンピュータシステムに内蔵されるハードディスク等の記憶装置のことをいう。さらに「コンピュータ読み取り可能な記録媒体」とは、インターネット等のネットワークや電話回線等の通信回線を介してプログラムを送信する場合の通信線のように、短時間の間、動的にプログラムを保持するもの、その場合のサーバやクライアントとなるコンピュータシステム内部の揮発性メモリのように、一定時間プログラムを保持しているものも含むものとする。また上記プログラムは、前述した機能の一部を実現するためのものであっても良く、さらに前述した機能をコンピュータシステムにすでに記録されているプログラムとの組み合わせで実現できるものであっても良い。

#### 【0105】

以上、本発明の実施形態を図面を参照して詳述してきたが、具体的な構成はこの実施形態に限られるものではなく、この発明の要旨を逸脱しない範囲の設計変更等も含まれる。

#### 【符号の説明】

#### 【0106】

- 1 質量分布取得システム
- 10 慣性モーメント測定装置

10

20

30

40

50

- 1 1 回転駆動部
- 1 2 角速度検出部
- 1 3 慣性モーメント算出部
- 2 0 質量分布取得装置
- 2 1 慣性モーメント取得部
- 2 2 質量分布取得部
- 2 3 形状判定部
- 2 4 結果出力部

【 図 1 】

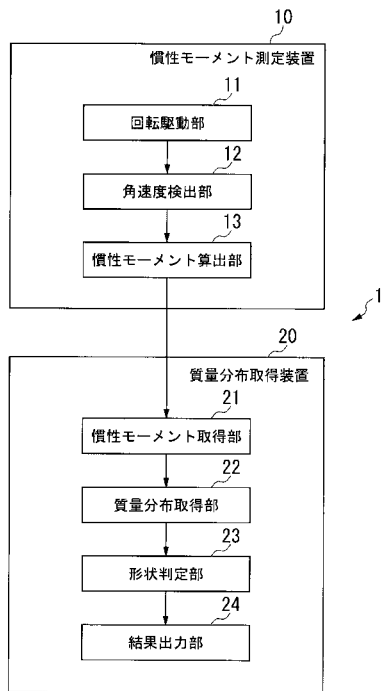


図 1

【 図 2 】

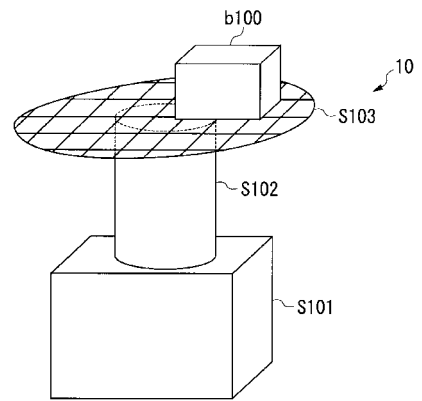


図 2

【 図 3 】

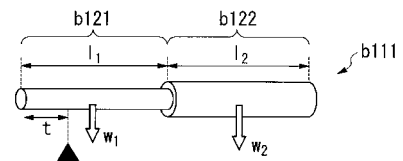


図 3

【図4】

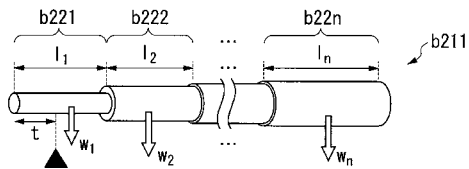


図4

【図5】

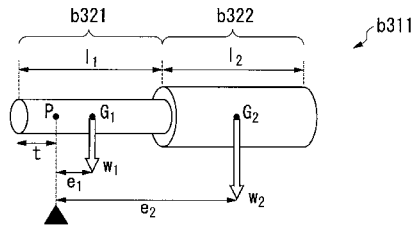


図5

【図6】

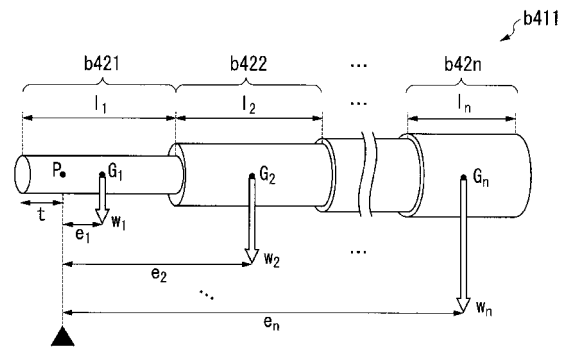


図6

【図7】

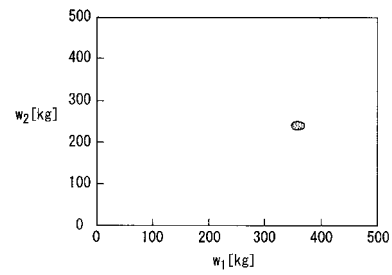


図7

【図8】

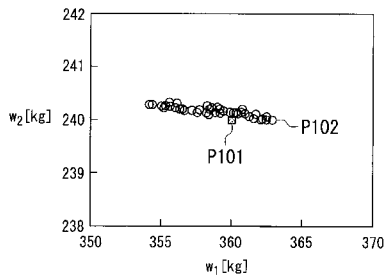


図8

【図10】

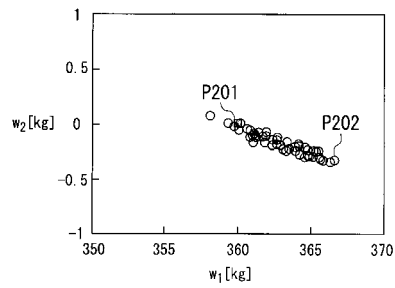


図10

【図9】

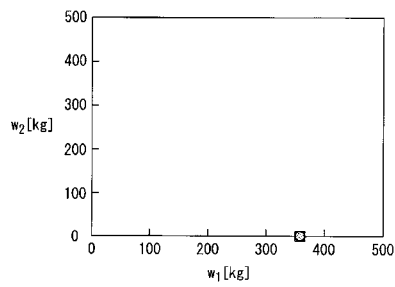


図9

【図11】

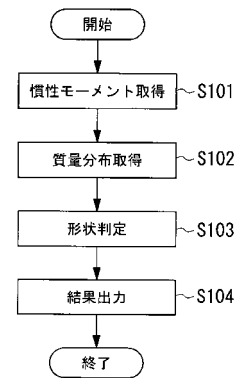


図11

---

フロントページの続き

(74)代理人 100196058

弁理士 佐藤 彰雄

(72)発明者 小川 雅

神奈川県横浜市保土ヶ谷区常盤台7-9番1号 国立大学法人横浜国立大学内

(72)発明者 原田 享

神奈川県横浜市保土ヶ谷区常盤台7-9番1号 国立大学法人横浜国立大学内

(72)発明者 平岡 正人

広島県広島市安佐北区あさひが丘7丁目2-3番29号 株式会社エンヴィジョン内